

射流水路における構造物付近の流れの性状に関する研究

名古屋工業大学 正員 細井 正延
名古屋工業大学 学生員 ○橋田 優

1. まえがき

射流水路における側壁の偏角など、境界面の不連続により発生する衝撃波については、A.T.Ippen, R.T.Knapp, 上田・埜口^{*}らの研究があり、その性質についてかなり明らかにされている。河川急流部のフルード数が比較的小さな射流域の河道に橋脚等の構造物を設置した場合に、構造物付近の衝撃波の生成及び河床変化の状態を主として実験的に調べ、その結果を用いて、急流部に構造物を設置するときの構造物の大きさ、形状及び付近の堤防高、護岸工法を合理的に定めようという目的からこの実験が始められた。今回は、その初めとして、衝撃波の生成状態についての実験結果を報告する。

2. 実験方法

本実験は水路幅一定の開水路の水路底の傾きを変化させることによって各種のフルード数をもつ流れを造り、前線が楔型をした構造物を設置した時に生ずる衝撃波の生成状態を測定し、それらに対して考察を加えたものである。

この実験に使用した水路は幅60cm、全長15mの長方形断面勾配可変水路である。流量測定には四角せき（板谷・手島による実験公式を採用）を用い、流量は常に15l/secとした。構造物は錫引き鉄板で作られており、図-1に示すように長さ60cm、幅が10cmと5cmの2種類で、それに対応して、先端の半頂角 β が10°、20°、30°、45°、60°の5種類である。測定

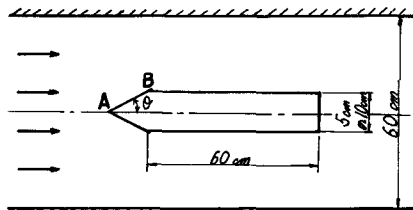


図-1

範囲は物体の側面から上流域にわたり、測定点は実験条件により異なるが、主に縦横2.5cm間隔のメッシュの交点にとった。また、水面の変動が著しいので抵抗線式波高計をもって水深を測定した。また、流速測定にはピトーハンを使用した。

3. 実験結果及び考察

本実験で現われた現象は、(i)斜め衝撃波の発生、(ii)離脱衝撃波の発生、(iii)構造物設置によるせき上げ(波状跳水を伴い、かなり上流部までその影響が及ぶ)の3種類である。図-2で示すように、離脱衝撃波は、楔の前線に付着していた斜め衝撃波が前方に離れてしまったものと考えられる。この場合斜め衝撃波を結ぶ曲線は弓形のようになり、中央部で衝撃波角 β が90°となる垂直衝撃波ができる。その波面後方付近では常流域が形成される。このように離脱衝撃波ができると、その付近は常流、射流の混在する不安定な遷移領域ができる、現象は非常に複雑となる。ただ、楔の半頂角 β が流れのフルード数に応じてある程度（これを最大偏角 β_{max} と名付けろ）以上

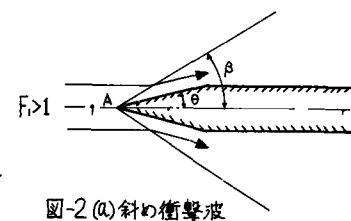


図-2 (a) 斜め衝撃波

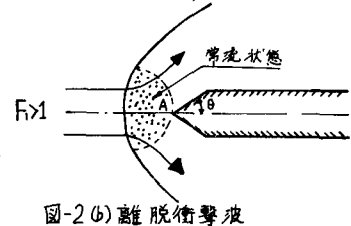


図-2 (b) 離脱衝撃波

になると、また半頂角 β が一定でフルード数が小さくなる程離脱衝撃波が発生しやすいことは A.T.Ippen の四象限図から明らかである。そこでまず、その Ippen の四象限図からフルード数 F_L と離脱衝撃波のできる半頂角 β_{max} (理論値)の関係をグラフに示し、実験結果と比較すると図-3 のようになる。但し、離脱衝撃波が発生しているかどうかの確認は構造物先端付近で横断方向に数点をとり、それぞれの点での鉛直方向の平均流速を測定しフルード数の値を調べることによって行った。図-1 の構造物の A-B の長さが比較的短かいので衝撃波角 β は理論値よりも小さく現われる。したがって図-3 のように斜め衝撃波と離脱衝撃波の境界を示す β_{max} の値は 理論値よりも大きな値となることが考えられる。さらに、半頂角がある程度以上になると離脱衝撃波は発生せず、流水断面積の縮小による流れのせき上げを呈する。

次に、衝撃波の状態を示す等水深線図で代表的なものを掲げると図-4 のようである。それらを比較すると、離脱衝撃波の場合は斜め衝撺波に比べて大きな差異が認められる。すなわち、(1)構造物先端付近で水面の大きな盛り上がりが見られる。(2)衝撃波が側壁と交わる付近での水面の盛り上がりが大きく、かつ広い範囲にわたっている。(3)また同付近では側壁との間に三街形状の停水域を形成しておりその規模は大きく、かつ上流側に寄っている。以上述べたように離脱衝撃波が発生する場合多くの不都合な点が認められるので、橋脚等の構造物の設計、堤防高の決定に際して考慮しなければならない。ここでは木路幅 60cm の場合について報告したが、木路幅及び木路幅/構造物幅の影響を調べるために 30cm 幅の水路を用いて実験を行なうつもりである。

最後に、本実験の実施にあたり終始協力をいただいた学部学生古田宝・坂田孝一両君に感謝の意を表する。

参考文献

- *上田年比古、塙口英昭；
水路側壁の偏向により発生する衝撃波について；
土木学会第28回年次講演集
(II-127) : 昭和48年。

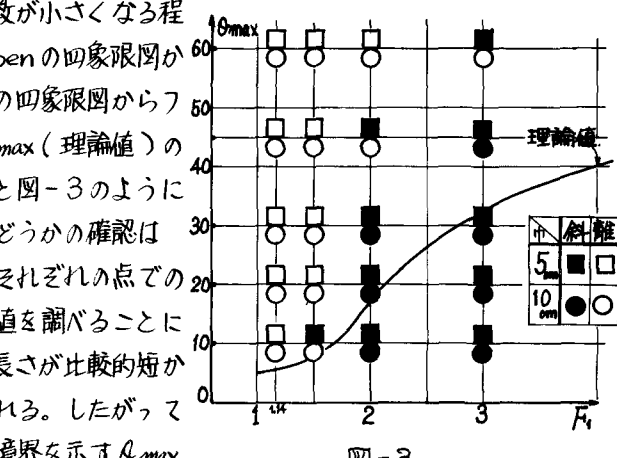


図-3

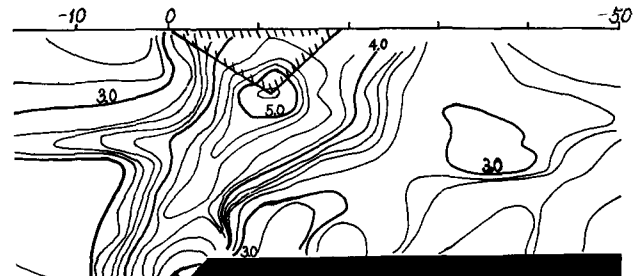


図-4 離脱衝撃波の例 幅 10cm, $\theta = 60^\circ$, $F_L = 2$.

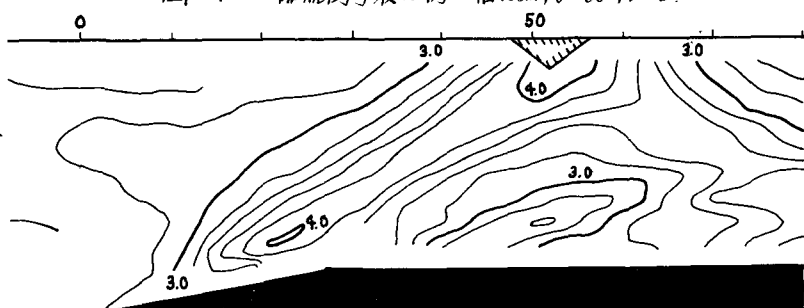


図-4 斜め衝撃波の例 幅 10cm, $\theta = 10^\circ$, $F_L = 2$